
ПРИКЛАДНА ГІДРОАЕРОМЕХАНІКА І ТЕПЛОМАСООБМІН

УДК 621.01

ОЦЕНКА СРЕДНЕЙ НАРАБОТКИ ДО ОТКАЗА АВТОМАТИЧЕСКИХ УРАВНОВЕШИВАЮЩИХ УСТРОЙСТВ ЦЕНТРОБЕЖНЫХ МАШИН

*І.В. Павленко, А.Корчак**

Сумський державний університет, г. Суми, Україна;

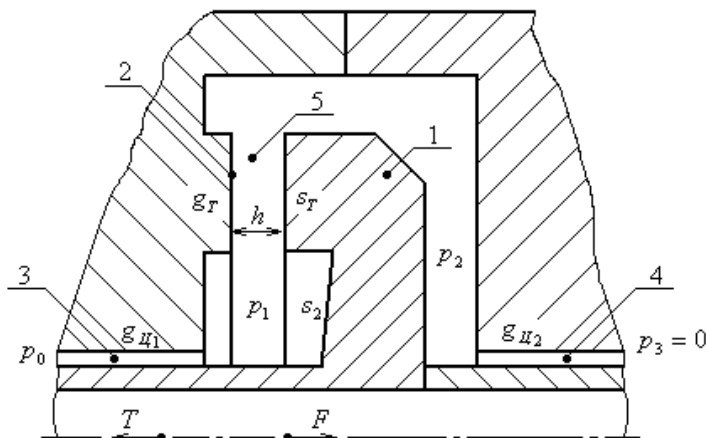
** Сілезький політехнічний інститут, г. Гливице, Польща*

Исследована эффективность автоматических уравновешивающих устройств по критерию оптимальной работы на примере общей схемы гидропяты. Получено выражение для средней наработки до отказа с учётом имеющихся статистических данных по износу поверхностей дросселирующих каналов.

ВВЕДЕНИЕ

Для разгрузки осевого усилия, действующего на ротор центробежных насосов, широко применяются автоматические разгрузочные устройства – гидропяты. Для проектирования узла авторазгрузки необходим точный расчёт, в том числе расчёт эффективности его работы, влияющей на надёжность всего насосного агрегата. Надёжность насосного оборудования необходима для снижения затрат, связанных с ремонтом, а также для обеспечения безопасности обслуживающего персонала.

Постепенный отказ гидропяты [1] вызывается естественным эрозионным износом цилиндрических 3, 4 и торцовой 5 дросселирующих щелей (рис. 1).



*Рисунок 1 – Схема узла гидропяты:
1 – разгрузочный диск; 2 – подушка; 3 – цилиндрический дроссель;
4 – дополнительный цилиндрический дроссель; 5 – торцовый дроссель*

При достижении торцовыми зазором значения ниже нижнего предела повышается вероятность задира рабочего торца вращающегося диска 1 с подушкой 2. Увеличение торцового зазора выше верхнего предела приводит к уменьшению объёмного к.п.д. насоса за счёт увеличения протечек рабочей жидкости через узел гидропяты.

ОЦЕНКА СРЕДНЕЙ НАРАБОТКИ ДО ОТКАЗА ГИДРОПЯТЫ

Под наработкой до отказа гидропяты будем понимать время, в течение которого узел авторазгрузки сохраняет торцовый зазор в установленных пределах, обеспечивая оптимальное значение к.п.д. при заданных условиях эксплуатации.

Статический расчёт гидропяты базируется на совместном решении уравнения осевого равновесия ротора и уравнений баланса расходов через цилиндрические и торцовый дроссели:

$$\begin{cases} F = T; \\ Q_{D1} = Q_T; \\ Q_T = Q_{D2}, \end{cases} \quad (1)$$

где F – уравновешивающее усилие:

$$F = p_1 \left(s_2 + \frac{1}{2} s_T \right) - p_2 (s_2 + s_T); \quad (2)$$

T – суммарная осевая сила, действующая на ротор насоса.

Расход жидкости через цилиндрические 3, 4 и торцовый 5 дроссели для автомодельной области турбулентного течения определяются по формулам:

$$Q_{D1} = g_{D1} \sqrt{p_0 - p_1}; \quad Q_{D2} = g_{D2} \sqrt{p_2 - p_3}; \quad Q_T = g_{TB} \left(\frac{h}{h_{TB}} \right)^{3/2} \sqrt{p_1 - p_2}. \quad (3)$$

Здесь g_{D1} , g_{D2} – проводимости цилиндрических щелей; g_{TB} – проводимость торцовой щели при базовом значении торцового зазора h_{TB} .

В результате решения уравнений баланса расходов (1) с учётом выражений (3) можно получить зависимость уравновешивающей силы (2) от торцового зазора в безразмерном виде:

$$\varphi(u) = \frac{1 + (1 - \sigma) \alpha_{T2}^2 u^3}{1 + (\alpha_{T1}^2 + \alpha_{T2}^2) u^3}, \quad (4)$$

где введены отношения проводимостей торцового и цилиндрических дросселей $\alpha_{T1} = g_{TB}/g_{D1}$ и $\alpha_{T2} = g_{TB}/g_{D2}$, а также безразмерный торцовый зазор $u = h/h_{TB}$.

Выражение (4) является статической характеристикой гидропяты с дополнительным цилиндрическим дросселем (рисунок 2, сплошная линия).

В случае отсутствия цилиндрического дросселя ($g_{D2} \rightarrow \infty$, или $\alpha_{T2} = 0$) статическая характеристика гидропяты описывается следующим уравнением:

$$\varphi(u) = \frac{1}{1 + \alpha_{T1}^2 u^3}. \quad (5)$$

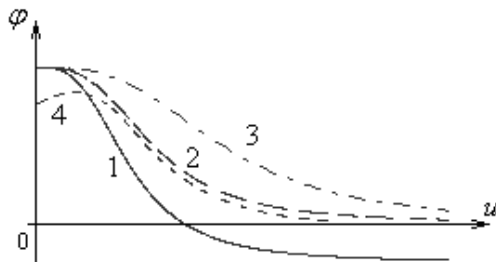


Рисунок 2 – Статическая характеристика гидропяты:
 1 – с дополнительным цилиндрическим дросселем; 2 – без дополнительного цилиндрического дросселя; 3 – с подводом запирающей жидкости; 4 – с учётом деформации разгрузочного диска

Выразим безразмерный зазор как функцию безразмерной уравновешивающей силы

$$u_0 = \sqrt[3]{\frac{1-\varphi}{(\alpha_{T1}^2 + \alpha_{T2}^2) \varphi + (\sigma - 1) \alpha_{T2}^2}}. \quad (6)$$

Введём относительный износ как значение радиального зазора к первоначальному (рис. 3):

$$\chi = u \left[\frac{(\alpha_{T1}^2 + \alpha_{T2}^2) \varphi + (\sigma - 1) \alpha_{T2}^2}{1 - \varphi} \right]^{1/3}. \quad (7)$$

Под постепенным отказом будем понимать событие, характеризующееся тем, что зазор u достигает границ интервала $[u_{\min}; u_{\max}]$ в области $\chi - \varphi$.

Для безотказной работы необходимо, чтобы точка $M(\chi, \varphi)$ находилась в области B , ограниченной линиями:

$$\chi_1 = u_1 \left(\frac{\alpha^2 \varphi}{1 - \varphi} \right)^{1/3}; \quad \chi_2 = u_2 \left(\frac{\alpha^2 \varphi}{1 - \varphi} \right)^{1/3}. \quad (8)$$

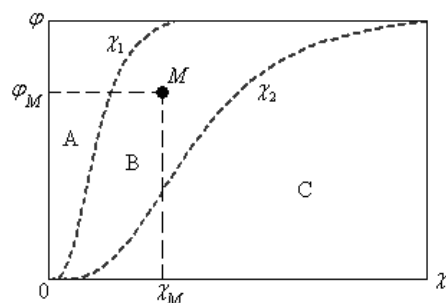


Рисунок 3 – Области работы узла гидропяты:
 А – область, соответствующая минимально допустимому значению торцового зазора; В – область нормального функционирования;
 С – область недопустимых объёмных потерь

Представим функцию изменения безразмерного зазора во времени в виде

$$\chi(t) = \chi_0 + \dot{\chi} t = a + bt, \quad (9)$$

где a и b – случайные величины, не зависящие от времени.

Поскольку на величину износа влияет большое число параметров (в том числе физико-механические свойства материала диска, точность обработки, шероховатость, волнистость, наличие твёрдых включений в перекачивающую жидкость и т.д.), то плотность вероятности случайных величин примем в виде нормального закона распределения (рис. 4):

$$p_a(a) = \frac{1}{\sqrt{2\pi}\sigma_a} e^{-\frac{(a-\bar{a})^2}{2\sigma_a^2}}; \quad p_b(b) = \frac{1}{\sqrt{2\pi}\sigma_b} e^{-\frac{(b-\bar{b})^2}{2\sigma_b^2}}, \quad (10)$$

где \bar{a} и \bar{b} – математические ожидания, которые можно определить путём аппроксимации кривых износа (рисунок 5), полученных экспериментальным путём в процессе эксплуатации питательных насосов;

σ_a , σ_b – среднеквадратические отклонения величин a и b соответственно, которые по имеющимся статистическим данным [2] можно вычислить, используя коэффициент вариации k [3]:

$$\begin{cases} \sigma_a = k \bar{a}; \\ \sigma_b = k \bar{b}. \end{cases} \quad (11)$$

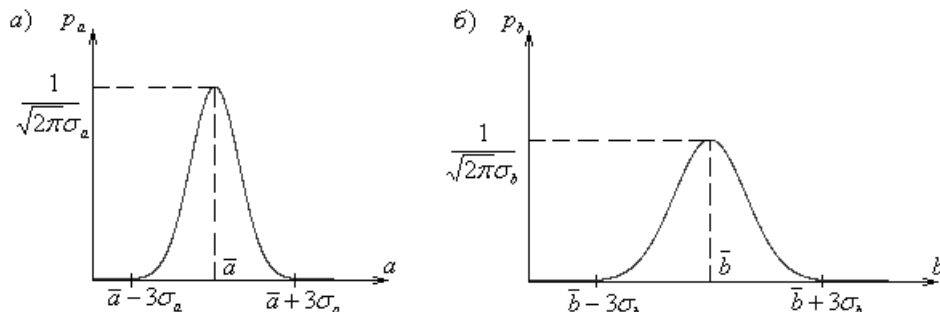


Рисунок 4 – Плотности вероятности случайных величин

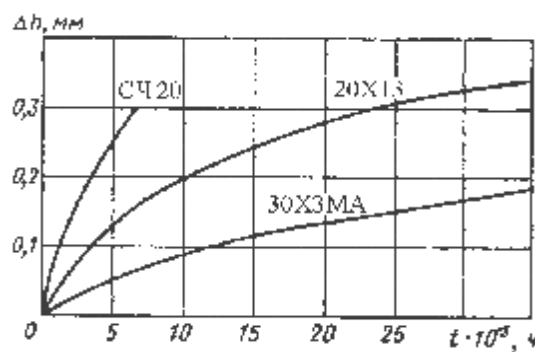


Рисунок 5 – Приращение зазора в щелевых уплотнениях с течением времени

Определим плотность вероятности случайной величины $\chi(t)$, используя выражение для плотности вероятности композиции двух статистически независимых величин [3]:

$$p_\chi(\chi, t) = p_\chi(a + bt) = \frac{1}{\sqrt{2\pi} \sigma_\chi(t)} e^{-\frac{[\chi - \bar{\chi}(t)]^2}{2\sigma_\chi^2(t)}}, \quad (12)$$

где математическое ожидание и среднеквадратическое отклонение функции $\chi(t)$ равны:

$$\bar{\chi}(t) = \bar{a} + \bar{b}t; \quad (13)$$

$$\sigma_\chi(t) = \sqrt{\sigma_a^2 + \sigma_b^2 t^2}. \quad (14)$$

Функция распределения радиального зазора

$$F_\chi(\chi, t) = \int_{-\infty}^{\chi} p_\chi(\chi', t) d\chi'. \quad (15)$$

Считая уравновешивающую силу φ стационарной случайной функцией с нормальным законом распределения

$$p_\varphi(\varphi) = \frac{1}{\sqrt{2\pi} \sigma_\varphi} e^{-\frac{[\varphi - \bar{\varphi}]^2}{2\sigma_\varphi^2}}, \quad (16)$$

где $\bar{\varphi}$ и σ_φ – математическое ожидание и среднеквадратическое отклонение, связанные коэффициентом вариации k :

$$\sigma_\varphi = k\bar{\varphi}, \quad (17)$$

получим функцию распределения (рис. 6а):

$$F_\varphi(\varphi) = \int_{-\infty}^{\varphi} p_\varphi(\varphi') d\varphi'. \quad (18)$$

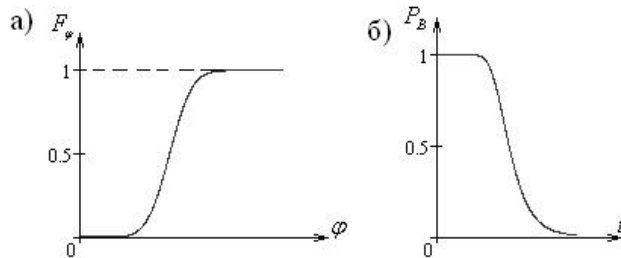


Рисунок 6 – Функция распределения безразмерной уравновешивающей силы (а); вероятность нормального функционирования гидропяты (б)

Вероятность нахождения изображающей точки M в области B нормального функционирования устройства авторазгрузки (рис. 3) определяется по следующей формуле [4] (рис. 6б):

$$P_B(t) = \int_{\varphi_{\min}}^{\varphi_{\max}} [F_\chi(\chi_2, t) - F_\chi(\chi_1, t)] \frac{\partial F_\varphi(\varphi)}{\partial \varphi} d\varphi. \quad (19)$$

Средняя наработка устройства авторазгрузки до отказа составляет

$$T = \int_0^\infty P_B(t) dt. \quad (20)$$

ПРИМЕР РАСЧЁТА

Исходные данные:

- 1) отношения проводимостей дросселей $\alpha_{T1} = \alpha_{T2} = 0,6$;
- 2) минимально допустимое значение безразмерного зазора $u_{\min} = 0,2$;
- 3) максимально допустимое значение безразмерного расхода $q_{\max} = 1,5$;
- 4) математическое ожидание безразмерного уравновешивающего усилия $\bar{\varphi} = 1$;
- 5) коэффициент вариации $k = 0,2$;
- 6) предельные значения безразмерной уравновешивающей силы $\varphi_{\min} = 0$; $\varphi_{\max} = 1,5$.

Области работы гидропяты с дополнительным цилиндрическим дросселем и без него представлены на рисунке 7.

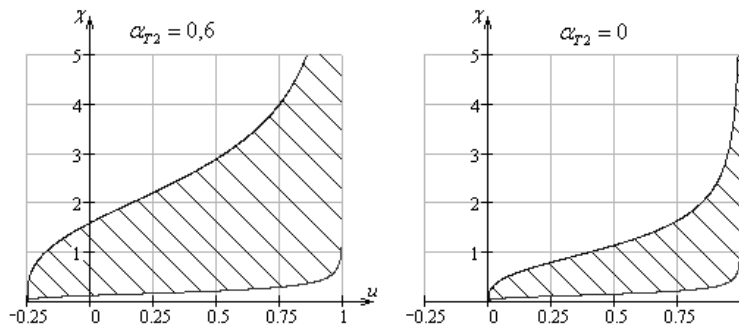


Рисунок 7 – Области работы гидропяты

Изменение во времени вероятности нормального функционирования гидропяты представлено на рисунке 8.

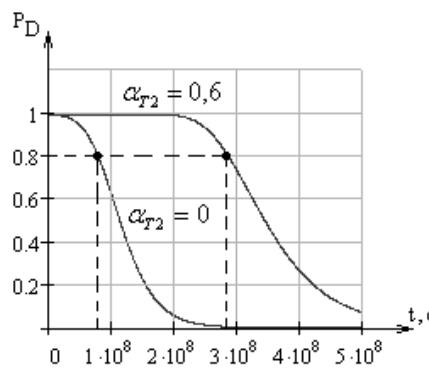


Рисунок 8 – Вероятность нормального функционирования гидропяты

Результаты вычислений сведены в таблицу 1.

Таблица 1 – Результаты вычислений

| Тип конструкции | Средняя наработка до отказа | | | Время эффективного функционирования с вероятностью 0,8 | | |
|------------------------------|-----------------------------|-------|--------|--|-------|--------|
| | тыс. ч. | | | | | |
| | СЧ20 | 20Х13 | 30Х3МА | СЧ20 | 20Х13 | 30Х3МА |
| Без дополнительного дросселя | 4,4 | 18,7 | 32,7 | 2,9 | 12,4 | 22,2 |
| С дополнительным дросселем | 13,3 | 56,9 | 99,5 | 10,5 | 45,3 | 77,8 |

Влияние отношения проводимостей торцевого и цилиндрического дросселей на эффективность работы гидропяты для стали 30Х3МА представлено на рисунке 9.

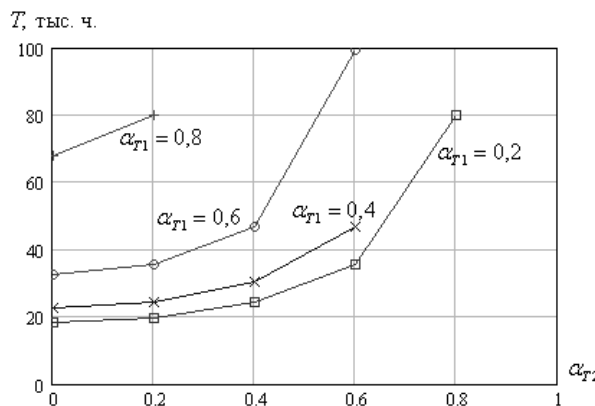


Рисунок 9 – Средняя наработка до отказа базовой конструкции гидропяты

Таким образом, на эффективность работы гидропят существенно влияют материал изнашиваемых поверхностей, а также отношение проводимостей торцевого и цилиндрического дросселей. Так, например, эффективность работы гидропяты с дополнительным цилиндрическим дросселем в 3 раза выше, чем без него.

ВЫВОДЫ

Рассмотрена общая схема устройства и получено выражение для средней наработки до отказа с учётом имеющихся статистических данных по износу в щелевых уплотнениях.

Проведено исследование времени эксплуатации гидравлических разгрузочных устройств в области с допустимым диапазоном изменения торцевого зазора.

Проанализировано влияние отдельных факторов (как геометрических, так и физических) на среднюю наработку до отказа гидропяты.

Полученные результаты могут быть использованы для предварительных вероятностных расчётов различных конструкций гидропяят в области с допустимыми объёмными потерями.

SUMMARY

ESTIMATION OF THE EFFICIENT WORK OF THE AUTOMATIC BALANCING DEVICE ON AVERAGE LIFE-LENGTH BEFORE REFUSAL

*I.V. Pavlenko, Sumy State University;
A. Korczak, Silezja Polytechnical Institute*

The efficiency of automatic balancing device on criterion of work in the field with the optimum losses was studied. General scheme of this device was considered, and expression for average life-length before refusal with account of available statistical results on wear-out of the surfaces of the radial throttle was received.

СПИСОК ЛИТЕРАТУРЫ

1. Марцинковский В.А. Бесконтактные уплотнения роторных машин.– М.: Машиностроение, 1980.– 200с.
2. Пырков А.А., Островерхов Г.Г. Надёжность питательных насосов// Экспресс-информация. Серия ХМ-4.– 1975.– № 6.– С.16.
3. Решетов Д.Н., Иванов А.С., Фадеев В.З. Надёжность машин/ Под ред. Д.Н.Решетова.– М.: Высшая школа, 1988.
4. Matematyka. Poradnik encyklopedyczny / Pod redakcji I.N.Bronszteina i K.A.Siemiedajewa.– Warszawa: Wydawnictwo naukowe PWN, 2004.

І.В. Павленко, аспирант, СумГУ, г. Суми, Україна;

А. Корчак, д-р техн. наук, Сілезький політехнічний інститут, г. Гливице, Польща

Поступила в редакцию 20 апреля 2007 г.